

КРИСТАЛЛОГРАФИЯ

Ю. А. ПЯТЕНКО, Г. Б. БОКИЙ и академик Н. В. БЕЛОВ

РЕНТГЕНОМЕТРИЧЕСКОЕ ИССЛЕДОВАНИЕ КРИСТАЛЛИЧЕСКОЙ
СТРУКТУРЫ ЧКАЛОВИТА

Чкаловит $\text{Na}_2\text{BeSi}_2\text{O}_6$ — редкий минерал, приуроченный к щелочным пегматитам Кольского полуострова. Открытый в 1936 г. В. И. Герасимовским, он был назван в честь В. П. Чкалова. Систематическое рентгеноструктурное исследование чкаловита не производилось; в литературе имеется лишь указание на (установленную рентгенометрически) принадлежность минерала к ромбической сингонии⁽¹⁾.

Минерал не встречается в виде ограненных кристаллов, и поэтому при нашем рентгенометрическом исследовании использовались совершенно прозрачные обломки по возможности изометричной формы; размер зерен 0,3—0,4 мм в попечнике. Юстировка кристаллических обломков была целиком проведена при помощи «рентгеновской гониометрии», по М. М. Уманскому и С. С. Квитка, — метода юстировки неограненных или плохо ограненных кристаллов по лауэграммам⁽²⁾. Размеры элементарной ячейки минерала определены по рентгенограммам качания и уточнены по дальним отражениям на развертках нулевых слоевых линий; излучение $K_{\alpha}\text{Fe}$, $K_{\alpha}\text{Cu}$ и $K_{\alpha}\text{Mo}$. Чкаловит оказался ромбическим минералом (класс Лауз D_2 — mm), но псевдотетрагональным: две его оси одинаковы в пределах ошибки опыта, $a=21,1 \pm 0,1 \text{ \AA}$, $b=21,1 \pm 0,1 \text{ \AA}$ и $c=6,87 \pm 0,03 \text{ \AA}$. Из снимков качания вокруг диагоналей граней вытекала центрированность всех граней ортогональной ячейки (F -решетка). По удельному весу минерала 2,66 установлено число единиц $\text{Na}_2\text{BeSi}_2\text{O}_6$ в этой ячейке, равное 24.

В камере «фотографирования обратной решетки» (КФОР) на Мо-излучении были получены развертки слоевых линий: нулевая, 1-я, 2-я, 3-я и 4-я при вращении вокруг оси c , а также нулевая — 3-я, вращение вокруг a . Систематические погасания в дифракционной картине однозначно определили федоровскую группу чкаловита как C_{2v}^{19} в установке $F2dd$ ⁽³⁾; группа — без центра симметрии (ромбическая гемиморфия), и поэтому численно равные оси a и b оказались топологически различны: только вдоль первой в структуре проходят оси второго порядка, и это направление является полярным. Плоскость наилучшей спайности чкаловита совпадает с (100), т. е. перпендикулярна к a — полярной 2-й оси.

Интенсивности отражений оценивались при помощи шкалы почернений из 35 марок. Из величин интенсивностей с учетом факторов Лоренца и поляризационного были получены структурные факторы $|F_{hkl}|^2$ для 880 нетождественных рефлексов. Так как максимальный размер образцов не превышал 0,4 мм, поправка на поглощение не вводилась. Приведение величин $|F_{hkl}|^2$ к единой (относительной) шкале было осуществлено при помощи боковых разверток (вращение вокруг оси a) и снимков качания вокруг c .

Нецентросимметричность структуры чкаловита, большое число атомов в ячейке при отсутствии тяжелых явились серьезным препятствием для исследования. Весьма существенным, однако, было облегчающее обстоятельство. Условие четности суммы $k+l$ для отражений $0kl$ могло быть детализировано при разбивке всех рефлексов $0kl$ на группы: $k+l=4n$ и $k+l=$

$=4n+2$. Если бы на развертке $0kl$ присутствовали лишь рефлексы с условием $k+l=4n$, то мы имели бы дело с центросимметричной группой $D_{2h}^{24}=Fddd$, так как остальные законы погасаний у групп C_{v2}^{19} и D_{2h}^{24} одинаковы⁽³⁾. На развертке $0kl$ все рефлексы с $k+l=4n+2$ были относительно слабыми, и поэтому в наиболее существенных чертах структура чкаловита должна быть центросимметричной с группой D_{h2}^{24} . Приняв как первое приближение, что расположение атомов в структуре близко к центросимметричному, при дальнейшем исследовании можно было интересоваться не фазами структурных амплитуд, а только их знаками.

Из-за систематически низких значений единичных структурных амплитуд с $h+k+l=4n+2$ пришлось отказаться от попытки прямого определения знаков амплитуд при помощи статистических равенств (по методу сопоставлений И. М. Румановой⁽⁴⁾), и мы могли исходить лишь из диаграмм межатомных расстояний (паттерсоновских). Первый же синтез $P(uv)$ — проекция xy диаграммы межатомных векторов — привел к неожиданному результату: вместо многих мешающих друг другу пиков (в ячейке 48 атомов Si и 48 Na) на проекции имелось лишь небольшое число резких максимумов. Это нельзя было объяснить только наложением межатомных векторов в силу симметрии плоской группы, и естественным было предположение, что более «тяжелые» атомы (Si, Na) располагаются по высоко симметричному мотиву с собственной симметрией, значительно превышающей симметрию $Fddd$ и поэтому создающей многократные наложения межатомных векторов и, в первую очередь, векторов Si—Si. Прямая расшифровка паттерсоновской диаграммы все же оставалась затруднительной по той причине, что в образовании каждого из пиков заведомо участвовали векторы между независимыми атомами.

То единство принципов строения силикатов, которое было вскрыто в результате работ зарубежных и советских авторов, делало естественным обращение к известным структурам силикатов в поисках кристаллохимических аналогий, причем наибольшее внимание было уделено каркасным силикатам. Большая вероятность трехмерной связи из тетраэдров SiO_4 и BeO_4 в структуре чкаловита следует прежде всего из формулы этого минерала ($Na_2BeSi_2O_6$): объединив Si с Be, мы приходим к $(Si+Be):O=1:2$, аналогично тому как в каркасных алюмосиликатах всегда $(Si+Al):O=1:2$. Другим указанием на каркасное строение чкаловита является большое сходство его физических (включая оптические) свойств с физическими свойствами представителей группы алюмосиликатов.

Предполагая, таким образом, каркасное строение чкаловита и учитывая результаты синтеза $P(uv)$, был произведен кристаллохимический анализ высокосимметричных каркасных структур, одним из результатов которого было обнаружение исключительно простого соотношения между размерами a, b и с ячейки чкаловита и ребром элементарного куба ($a=7,16 \text{ \AA}$) β -кристобалита: $a_{\text{чк}}=b_{\text{чк}} \approx 3a_{\text{кр}}$ и $c_{\text{чк}} \approx a_{\text{кр}}$. Тот высокосимметричный мотив, который должен (согласно паттерсоновской проекции) лежать в основе строения чкаловита, таким образом, весьма вероятно, был кристобалитовый, фигурирующий во всех кристаллохимических главах курсов минералогии. Близость объемов на 1 атом кислорода в структурах чкаловита и β -кристобалита ($21,2-22,5 \text{ \AA}^3$) подтвердила существенное значение аналогии, проводимой между этими двумя минералами.

Структурная близость — сходство основных деталей — чкаловита и β -кристобалита полностью подтвердилась в результате подробного анализа проекции $P(uw)$ и разрезов $P(uv0)$ и $P(uv1/4)$: все сколь-либо значительные максимумы указанных P -функций получили удовлетворительное объяснение, если принять, что атомы Si (и Be) в чкаловите располагаются (приближенно) по «алмазному» закону ячейки кристобалита, повторенной $3 \times 3 = 9$ раз, ионы же Na^+ находятся в центрах лавесовских полиэдров, создающих вторую алмазную решетку в структурах, подобных β -кристобалиту (см. рис. 1). Таким образом, структура чкаловита оказалась «произ-

водной» от структуры высокотемпературного кристобалита, причем сохранение в чкаловите «алмазных» плоскостей d кристобалита (O_h^7 — $Fd\bar{3}m$), в согласии с М. Бюргером и Н. В. Беловым (⁵, ⁶), повлекло за собой необходимость уточнения соответствующих (*a* и *b*) периодов идентичности по сравнению с ячейкой кристобалита. Само разрешение структуры чкаловита тем

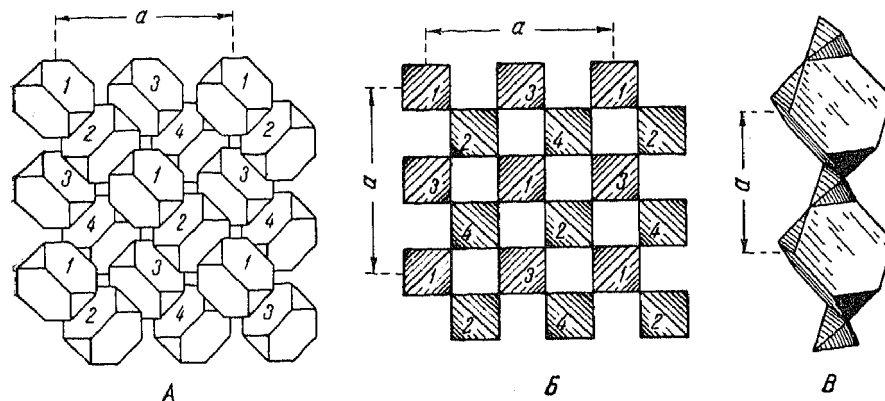


Рис. 1. Структура высокотемпературного кристобалита. *A* — укладка («алмазная») из пустующих лавесовских полиэдров двух ориентаций на 4 уровнях (1, 2, 3, 4). Для ясности каждый полиэдр значительно скат, чтобы выступали полиэдры с нижних уровней. На самом деле у полиэдра 2 наклонная 6-угольная грань является общей с полиэдром 1, и, следовательно, полиэдр 2 в неискаженной проекции полностью перекрыт. *B* — непрерывный каркас (вязь) из Si-тетраэдров на 4 высотах. Каждый тетраэдр расположен над имеющим тот же номер лавесовским полиэдром из рис. 1*A*. *C* — три Si-тетраэдра и 2 лавесовских полиэдра вдоль одного из ребер элементарного куба

самым в основном свелось к определению мотивов, по которым в удивительной ячейке структуры кристобалита происходит замещение $\frac{1}{3}$ атомов Si на Be и заполнение атомами Na $\frac{2}{3}$ общего числа лавесовских полиэдров, пустующих в структуре кристобалита.

В результате подробного кристаллогеометрического анализа была получена наиболее вероятная модель размещения атомов Si, Na и Be в структуре. На основании вытекающих из сопоставления со структурой кристобалита идеальных координат более «тяжелых» атомов Si и Na были определены знаки F_{hkl} (120 величин) и затем проведен ряд последовательных приближений Фурье — проекции электронной плотности при луче зрения вдоль короткой оси *c*. По этим синтезам удалось определить координаты *x* и *y* атомов Si и Na в рамках группы $Fdd\bar{d}$; координаты *z* были определены ранее при анализе диаграмм межатомных векторов. Установленное размещение атомов Si и Na в ячейке хорошо согласовалось с пиками на паттерновских проекциях и разрезах. Не имея возможности определить координаты атомов кислорода из соответственных нечетких пиков на проекциях электронной плотности, мы обратились к геометрическому анализу и интенсивностям отражений под малыми углами ϑ , в результате был найден наиболее подходящий вариант размещения атомов O в ячейке; одновременно тот же анализ показал, что некоторые межатомные расстояния в полученной центросимметричной структуре оказываются заниженными и что в рамках группы

Таблица 1

Атомы	<i>x</i>	<i>y</i>	<i>z</i>
Be _I (8)	0	0	0
Be _{II} (16)	0	0,33	0
Si _I (16)	0,346	0	0
Si _{II} (32)	0,071	0,093	0,25
Na _I (16)	0,154	0	0
Na _{II} (32)	0,071	0,093	0,75
O _I (16)	0,125	0,125	0,125
O _{II} (32)	0,04	0,03	0,16
O _{III} (32)	0,03	0,13	0,37
O _{IV} (32)	0,13	0,06	0,37
O _V (32)	0,20	0,04	0,66

D_{2h}^{24} невозможно добиться улучшения координат, не впадая в противоречие с данными эксперимента. Полученные результаты указали, таким образом, на обязательность снижения симметрии структуры, однако от определения более точных нецентросимметричных координат в рамках группы C_{2v}^{19} пришлось отказаться. В табл. 1 приводятся (идеализированные) координаты атомов в структуре чкаловита (центросимметричное приближение — группа D_{2h}^{24} — $Fddd$).

Удовлетворительная сходимость экспериментальных и расчетных значений F_{hk0} и F_{hk2} (до $\sin \theta/\lambda = 0,45$) подтвердила правильность определения

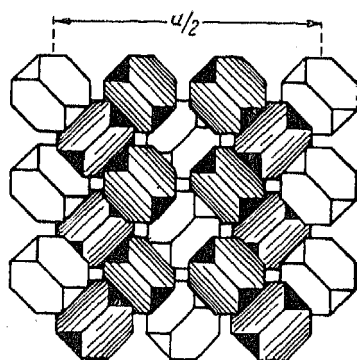


Рис. 2. Структура чкаловита. Проекция при луче зрения, параллельном оси c . Показаны лишь лавесовские полиэдры. В заштрихованных расположаются катионы Na , светлые пустуют, над первыми располагаются Si -тетраэдры, над вторыми Be -тетраэдры. Трансляционное повторение мотива вдоль оси a и b имеет место на 13-м слое из полиэдров

из Si -тетраэдров в β -кристобалите делает его координационное число равным 12, однако указанные искажения идеального кристобалитового мотива должны уменьшить это координационное число до 10—8.

Делая ударение на одинаковой роли атомов Si и Be в непрерывном каркасе (вязи) из тетраэдров, мы должны формулу чкаловита записывать в виде $Na_2[BeSi_2O_6]$.

Поступило
22 II 1956

ЦИТИРОВАННАЯ ЛИТЕРАТУРА

- ¹ В. И. Герасимовский, ДАН, 22, № 5, 263 (1939). ² М. М. Уманский, С. С. Квитка, Изв. АН СССР, сер. физ., 15, 147 (1951). ³ Г. С. Жданов, В. А. Пospelов, ЖЭТФ, 15, 709 (1945). ⁴ И. М. Руманова, Тр. Инст. кристаллогр., в. 10, 57 (1954). ⁵ М. Веггер, J. Chem. Phys., 15, 1 (1947). ⁶ Н. В. Белов, ДАН, 58, № 4, 645 (1947).